

开关电路 手册

□ 赵负图 主编



化学工业出版社

开关电路手册

赵负图 主编



化学工业出版社

·北京·

图书在版编目 (CIP) 数据

开关电路手册/赵负图主编. —北京: 化学工业出版社,
2006. 7

ISBN 978-7-5025-9076-5

I. 开… II. 赵… III. 开关电路—技术手册
IV. TN710-62

中国版本图书馆 CIP 数据核字 (2006) 第 076699 号

开关电路手册

赵负图 主编

责任编辑: 刘 哲 宋 辉

文字编辑: 徐卿华

责任校对: 李 林

封面设计: 韩 飞

*

化学工业出版社出版发行

(北京市东城区青年湖南街 13 号 邮政编码 100011)

购书咨询 (010)64518888

购书传真 (010)64516866

售后服务 (010)64518899

<http://www.cip.com.cn>

*

新华书店北京发行所经销

北京聚鑫印刷有限责任公司印刷

玉河市延风装订厂装订

开本 787mm×1092mm 1/16 印张 27 字数 675 千字

2007 年 1 月第 1 版 2007 年 1 月北京第 1 次印刷

ISBN 978-7-5025-9076-5

定 价: 58.00 元

版权所有 违者必究

该书如有缺页、倒页、脱页者, 本社发行部负责退换

编写人员

主编：赵负图

参加编写人员：

赵负图 李思 吴学孟 常华瑞 赵民
吴长虹 徐宇逊 谢思齐 贺桂琴 张亚卿
郑小龙 魏智 陈东欣 赵军 李双梅

前　　言

开关电路作为现代生产、生活、科技领域发展的关键电路，广泛用于航空、航天、国防、民用、工农业、交通运输、通信、环保、医疗及安全防范各领域，如旋转位移、飞机、轮船及各种车辆、家用电器、仪表、灯光等的开关控制。

本书是电子、电气、通信、机械各领域从事设计、开发、研究、生产、维修的广大工程技术人员的重要工具书，也是各类图书资料室必备的参考书。

本书在编写过程中，得到有关公司领导和技术人员的大力支持，其中有些提供资料的人员未写入编写人员名单中，在此表示诚挚的谢意。

本书的产品数据、电路图来自有关厂商。对信息的处理均为编者的理解和看法，不妥之处，请读者指正。

编者
2006.12

目 录

第 1 章 单刀单掷开关电路	1
1. 1 单刀单掷开关电路	1
1. 2 双单刀单掷开关电路	6
1. 3 DG 型 4 单刀单掷开关电路	8
1. 4 MAX 型 4 单刀单掷开关电路	15
1. 5 ADG 型 4 单刀单掷开关电路	23
第 2 章 单刀双掷、双刀双掷开关电路	27
2. 1 单刀双掷开关电路	27
2. 2 双单刀双掷开关电路	38
2. 3 3/4 单刀双掷开关电路	44
2. 4 4 单刀双掷开关电路	46
2. 5 双刀双掷开关电路	50
第 3 章 大功率开关电路	53
3. 1 电动机械驱动开关电路	53
3. 2 输入锁存驱动开关电路	71
3. 3 电感性负载驱动开关电路	85
3. 4 可编址驱动开关电路	89
第 4 章 双向开关电路	92
4. 1 单双向开关电路	92
4. 2 二双向开关电路	106
4. 3 四双向开关电路	110
第 5 章 限流、热交换开关电路	116
5. 1 电流限开关电路	116
5. 2 MIC 热交换开关电路	123
5. 3 ±48V、72V 热交换开关电路	132
5. 4 低压热交换开关电路	141

第 6 章 电平转换开关电路	145
6.1 8 位电平转换开关电路	145
6.2 10 位电平转换开关电路	146
6.3 16 位电平转换开关电路	149
6.4 上/下电平转换开关电路	150
6.5 电平转换的多工器/分功器	154
第 7 章 交(叉)点开关电路	160
7.1 8×8 交点开关电路	160
7.2 16×8 交点开关电路	166
7.3 16×16 交点开关电路	172
7.4 32×17 交点开关电路	184
第 8 章 总线开关电路	192
8.1 单总线开关电路	192
8.2 双总线开关电路	195
8.3 4 总线开关电路	202
8.4 8 总线开关电路	207
8.5 10 总线开关电路	215
8.6 16 总线开关电路	228
8.7 18 总线开关电路	234
8.8 20 总线开关电路	236
8.9 24 总线开关电路	244
8.10 32 总线开关电路	256
第 9 章 多路转换开关电路	258
9.1 2 至 1 多路转换开关电路	258
9.2 8 通道多路转换开关电路	264
9.3 8 至 1 和双 4 至 1 多路转换开关电路	268
9.4 8 通道/双 4 通道多路转换开关电路	280
9.5 16 通道/双 8 通道多路转换开关电路	291
第 10 章 多路转换/多路分配开关电路	296
10.1 1 至 8 多路转换/多路分配开关电路	296
10.2 双 1 至 4 多路转换/多路分配开关电路	299
10.3 4 位 1 至 2 多路转换/多路分配开关电路	306
10.4 12 位 1 至 2 或 3 多路转换/多路分配开关电路	314
10.5 16 位 1 至 2 多路转换/多路分配开关电路	319
10.6 2 通道多路转换/多路分配开关电路	321

10.7	4 通道多路转换/多路分配开关电路	324
10.8	8 通道多路转换/多路分配开关电路	326
10.9	16 通道多路转换/多路分配开关电路	328
10.10	其他通道的多路转换/多路分配开关电路.....	329
第 11 章 遥控开关控制电路		339
11.1	接近开关电路.....	339
11.2	光电开关、驱动、接口、控制电路.....	349
11.3	超声波和声控开关控制电路.....	376
11.4	压力、液位开关控制电路.....	382
11.5	无线遥控开关收发控制电路.....	387
11.6	温度开关控制电路.....	403
11.7	湿度开关控制电路.....	412
11.8	气体开关控制电路.....	414
11.9	振动加速度、位移开关控制电路.....	421

第1章

单刀单掷开关电路

1.1 单刀单掷开关电路

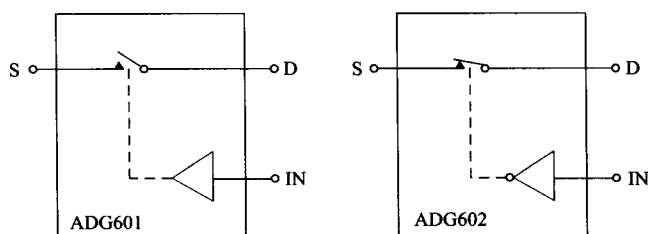
ADG601/ADG602, 2Ω, CMOS, ±5V/5V, SPST 开关

[用途]

自动测试设备	采样和保持系统
电源路线选择	航空电子
通信系统	代替继电器
数据采集系统	电池供电系统

[特点]

低导通电阻, 最大 2.5Ω	超小型 6 脚 SOT23 和 8 脚 SOIC 封装
<0.6Ω 导通电阻平坦性	低功耗
双±(2.7~5.5)V 或单 2.7~5.5V 电源	TTL/CMOS 兼容输入
轨对轨输入信号范围	



开关表示逻辑“1”输入

图 1-1 功能块图

ADG601/ADG602 是单片 CMOS SPST (单刀单掷) 开关, 导通电阻小于 2.5Ω, 低导通电阻平坦性使 ADG601/ADG602 适用于许多方面的应用, 特别是那些低失真应用。这些开关适于代替机械继电器, 因为它们有更好的可靠性, 低功耗, 封装尺寸更小。ADG601 是一个常开 (NO) 开关, 而 ADG602 是一个常闭 (NC) 开关。当导通时, 每个开关在任一方向导通都一样。输入信号范围可扩展至电源轨。它们适用于 6 脚 SOT23 和 8 脚 SOIC 封装。

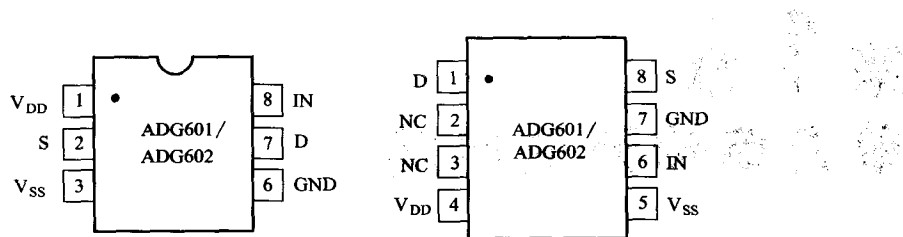


图 1-2 管脚图 (顶视)

[管脚说明] V_{DD} : 正电源电压; S : 源端, 可以是输入或输出; V_{SS} : 负电源电压; IN : 逻辑控制输入; D : 漏端, 可以是输入或输出; GND : 地 ($0V$); NC : 不连接。

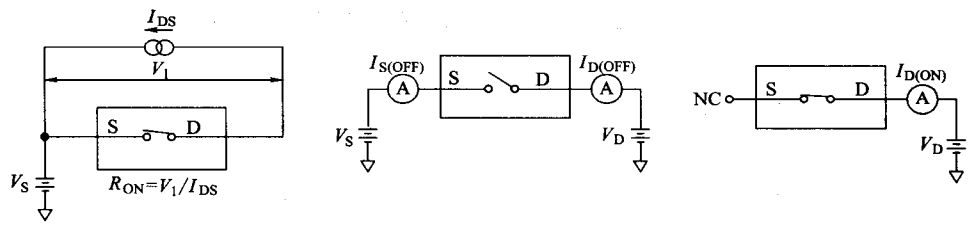
[最大绝对额定值] ($T_A = 25^\circ C$, 除非另有说明)

V_{DD} 至 V_{SS}	13V
V_{DD} 至 GND	-0.3~6.5V
V_{SS} 至 GND	-0.3~6.5V
模拟输入	$(V_{SS} - 0.3V) \sim (V_{DD} + 0.3V)$
数字输入	-0.3V~($V_{DD} + 0.3V$)
连续电流, S 或 D	100mA
峰值电流, S 或 D (脉宽 1ms, 占空比最大 10%)	200mA
工作温度	-40~85°C
存储温度	-65~150°C
结温	150°C
SOIC 封装:	
热阻 θ_{JA}	206°C/W
热阻 θ_{JC}	44°C/W
SOT-23 封装:	
热阻 θ_{JA}	229.6°C/W
热阻 θ_{JC}	91.99°C/W
引线焊接温度 (10s)	300°C
红外熔焊峰值温度	220°C

[测试电路] 见图 1-3。

[参数说明] I_{DD} : 正电源电流; I_{SS} : 负电源电流; V_D (V_S): 在 D (S) 端模拟电压; R_{ON} : D 和 S 之间的电阻; $R_{FLAT(ON)}$: 导通电阻最大值和最小值差, 在规定模拟信号范围; $I_{S(OFF)}$: 随开关断开源漏电流; $I_{D(OFF)}$: 随开关断开漏漏电流; $I_{D(ON)}$ 、 $I_{S(ON)}$: 随开关导通通道漏电流; V_{INL} : 最大输入电压, 用于逻辑“0”; V_{INH} : 最大输入电压用于逻辑“1”; I_{INL} (I_{INH}): 数字输入电流; $C_{S(OFF)}$: 断开开关源电容; $C_{D(OFF)}$: 断开开关漏电容; $C_{D(ON)}$ 、 $C_{S(ON)}$: 导通开关电容; C_{IN} : 数字输入电容; t_{ON} : 数字控制输入和输出开关导通之间的延迟; t_{OFF} : 数字输入控制和输出开关断开之间的延迟; 电荷注入: 在开关时干扰脉冲从数字输入至模拟输出转换的测量; 断开隔离: 无用信号通过断开开关耦合的测量; 导通响应是导通开关频率响应; 插入损耗是由于开关导通电阻损耗。

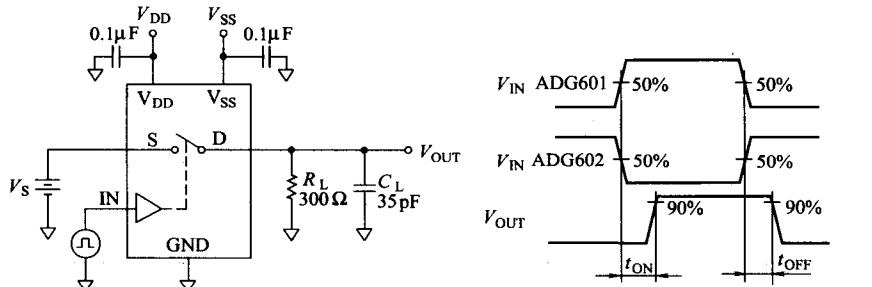
[生产厂家] ANALOG DEVICES



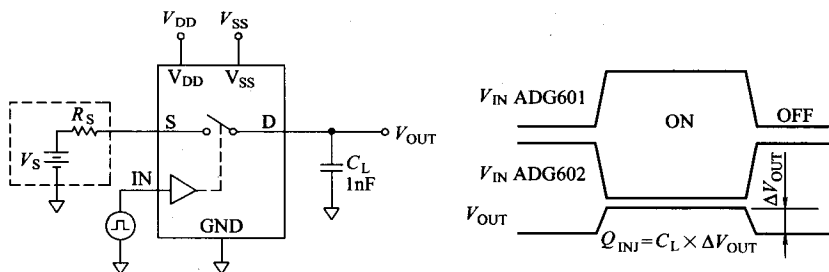
(a) 导通电阻

(b) 断开漏电流

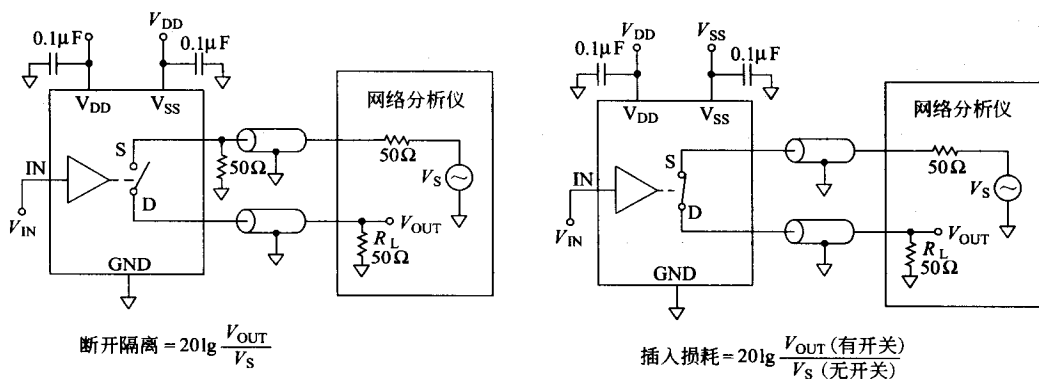
(c) 导通漏电流



(d) 开关时间



(e) 电荷注入



(f) 断开隔离

(g) 带宽

图 1-3 部分性能测试电路

MAX4626 / MAX4627 / MAX4628, 0.5Ω, 低压, 单电源, SPST 模拟开关

[用途]

电源路由
电池供电设备
音频和视频信号路由
低压数据采集系统
通信电路

PCMCIA 卡
蜂窝电话
调制解调器
硬件驱动

[特点]

低 R_{ON} :
最大 0.5Ω (+5V 电源)
最大 0.9Ω (+3V 电源)
最大 0.1Ω R_{ON} 平坦性 (+5V 电源)
过流保护
单电源工作 (1.8~5.5V)

可用 SOT23 封装
快速开关: $t_{ON} = 50\text{ns}$ 最大,
 $t_{OFF} = 30\text{ns}$ 最大
TTL 逻辑兼容 (在 +5V)
MAX4626 管脚与 MAX4514 兼容
MAX4627 管脚与 MAX4515 兼容

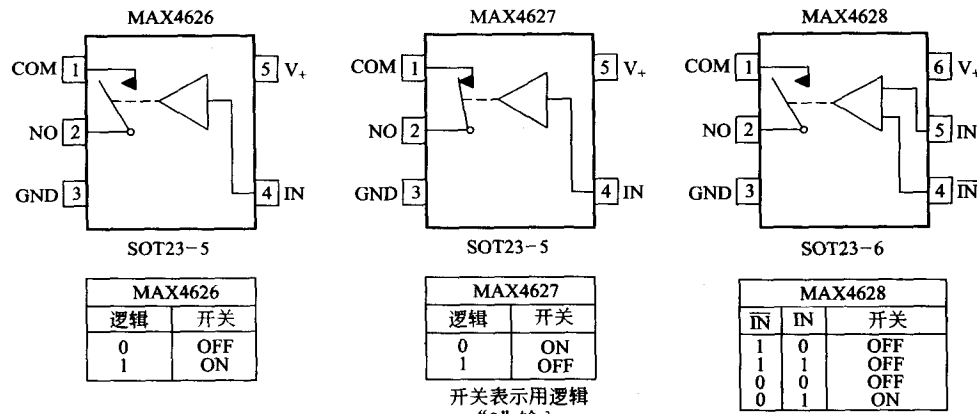


图 1-4 管脚、功能图和真值表

MAX4626/MAX4627/MAX4628 是低导通电阻，低电压单刀单掷（SPST）模拟开关，工作用单电源 1.8~5.5V。MAX4626 是常开（NO），MAX4627 是常闭（NC），MAX4628 是常开（NO），有两个控制输入。这些器件有快速开关速度 ($t_{ON} = 50\text{ns}$ 最大, $t_{OFF} = 30\text{ns}$ 最大)。当供电用 +5V 时，MAX4626/MAX4627/MAX4628 为 0.5Ω 最大导通电阻，有最大 0.1Ω 的 R_{ON} 具有平坦性，数字输入 TTL 兼容。开关有过流保护，防止器件在短路和过载时损坏。MAX4626 管脚与 MAX4514 的兼容，MAX4627 管脚与 MAX4515 的兼容。MAX4626/MAX4627 可用 SOT23-5 封装；MAX4628 可用 SOT23-6 封装。

[管脚说明]

脚号			脚名	说 明
MAX4626	MAX4627	MAX4628		
1	1	1	COM	模拟开关公共端
2	—	2	NO	模拟开关常开
3	3	3	GND	地
4	4	5	IN	数字控制输入
5	5	6	V ₊	正电源输入
—	2	—	NC	模拟开关常闭
—	—	4	IN	反相数字控制输入

[最大绝对额定值] (电压相对地)

V ₊ , IN, \bar{IN}	-0.3~6V
NO, NC, COM	-0.3V~(V ₊ + 0.3V)
连续电流 NO, NC 至 COM	±400mA
峰值开关电流 NO, NC 至 COM (脉宽 1ms, 10%占空比)	±800mA
连续功耗 ($T_A = 70^\circ\text{C}$)	
5 脚 SOT23-5 (70°C 以上衰减 7.1mW/°C)	571mW
6 脚 SOT23-6 (70°C 以上衰减 7.1mW/°C)	571mW
工作温度	-40~85°C
结温	150°C
存储温度	-65~150°C
引线焊接温度 (10s)	300°C

[生产厂家] MAXIM

NLAS323 双 SPST (单刀单掷) 模拟开关, 低压, 单电源

[用途]

用于模拟和数字信号开关

[特点]

导通电阻典型值 20Ω 在 5.0V	CMOS/TTL 兼容
2~6V 工作范围	2000V ESD (HBM 人体型)
超低电荷注入小于 5pC	R_{ON} 平坦性 ±6Ω 在 5.0V
超低漏电流, 在 5.0V, 25°C 小于 1nA	US8 封装
带宽 (-3dB) 大于 200MHz	独立, 正使能

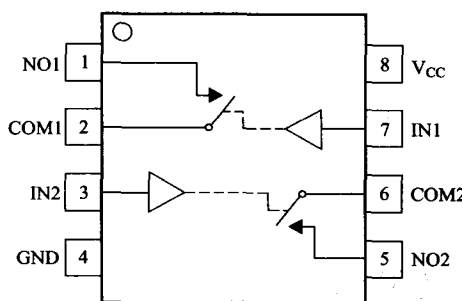


图 1-5 管脚、逻辑图

NLAS323 是一个双 SPST (单刀单掷) 开关, 类似于 1/2 标准 4066。器件允许独立选择 2 模拟/数字信号, 适用于超小型 8 脚封装。用先进的 $0.6\mu\text{CMOS}$ 工艺, 改进 R_{ON} 电阻。

[管脚说明]

脚号	脚名	脚号	脚名
1	NO1	5	NO2
2	COM1	6	COM2
3	IN2	7	IN1
4	GND	8	V _{cc}

[功能表]

ON/OFF 使能输入		模拟开关状态
L	H	OFF ON

[推荐工作条件]

符 号	参 数	最 小	最 大	单 位
V_{CC}	正 DC 电源电压	2.0	5.5	V
V_{IN}	数字输入电压(使能)	GND	5.5	V
V_{IO}	静态或动态电压加至断开开关上	GND	V_{CC}	V
V_{IS}	模拟输入电压(NO, COM)	GND	V_{CC}	V
T_A	工作温度范围	-55	+125	℃
t_r, t_f	输入上升或下降时间(使能输入) $V_{CC} = 3.3V \pm 0.3V$ $V_{CC} = 5.0V \pm 0.5V$	0	100 20	ns/V

[最大额定值]

符 号	参 数	数 值	单 位
V_{CC}	DC 电源电压	-0.5~7.0	V
V_I	DC 输入电压	-0.5~7.0	V
V_O	DC 输出电压	-0.5~7.0	V
I_{IK}	DC 输入二极管电流 ($V_I < GND$)	-50	mA
I_{OK}	DC 输出二极管电流 ($V_O < GND$)	-50	mA
I_O	DC 输出沉电流	±50	mA
I_{CC}	每个电源脚 DC 电源电流	±100	mA
I_{GND}	每个接地脚 DC 接地电流	±100	mA
T_{STG}	存储温度	-65~150	℃
T_L	引线焊接温度(离壳体 1mm, 10s)	260	℃
T_J	偏压下结温	+150	℃
θ_{JA}	热阻	250	℃/W
P_D	功耗(在静态空气 85℃)	250	mW
MSL	湿度灵敏度 氧指数 28~34	1 级	
F_R	燃烧额定值	UL 94 V-0@0.125in ^①	
V_{ESD}	ESD 耐压 人体型 机器型 带电器件型	>2000 >150 N/A	V

① 1in=25.4mm, 余同。

[生产厂家] ON Semiconductor

1.2 双单刀单掷开关电路

ADG621 / ADG622 / ADG623, CMOS, ±5V / 5V, 4Ω, 双 SPST (单刀单掷) 开关

[用途]

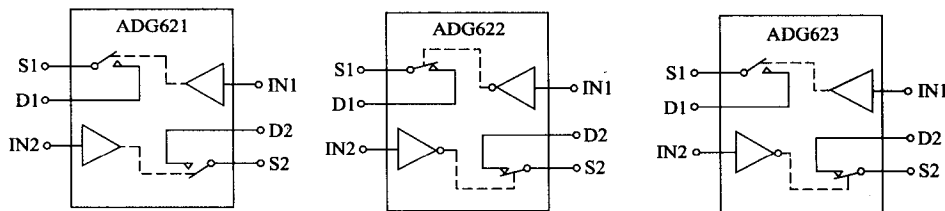
- | | |
|--------|---------|
| 自动测试设备 | 采样和保持系统 |
| 功率路由 | 航空电子 |
| 通信系统 | 替代继电器 |
| 数据采集系统 | 电池供电系统 |

[特点]

- | | |
|-------------------|-----------------|
| 5Ω (最大) 导通电阻 | 2.7~5.5V 单电源 |
| 0.9Ω (最大) 导通电阻平坦性 | ±(2.7~5.5)V 双电源 |

轨对轨工作
10 引线 μ SOIC 封装

典型功耗 ($<0.01\mu\text{W}$)
TTL/CMOS 兼容输入



开关表示逻辑“0”输入

图 1-6 功能块图

ADG621/622/623 是单片 CMOS SPST 开关，当导通时，每个开关在两个方向导通是相同的，器件包括两个独立开关。ADG621 和 ADG622 的不同在于分别对应正常开路和正常闭合。在 ADG623 中，开关 1 正常开路，开关 2 正常闭合。ADG623 表示先开后合开关动作。ADG621/622/623 低导通电阻为 4Ω ，与两个通道之间内 0.25Ω 匹配。开关低功耗仍能产生高开关速度。ADG621/622/623 为 10 脚 μ SOIC 封装。

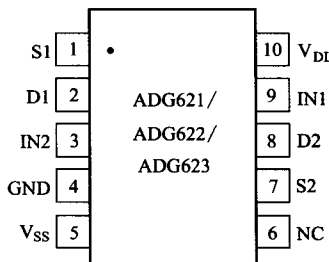


图 1-7 管脚图 (顶视)

[真值表] (ADG621/622)

ADG621 IN _x	ADG622 IN _x	开关条件
0	1	OFF
1	0	ON

[真值表] (ADG623)

IN1	IN2	开关 S1	开关 S2
0	0	OFF	ON
0	1	OFF	OFF
1	0	ON	ON
1	1	ON	OFF

[最大绝对额定值] ($t_A = 25^\circ\text{C}$, 除非另有说明)

V_{DD} 至 V_{SS}	13V	连续电流, S 或 D	50mA
V_{DD} 至 GND	$-0.3 \sim 6.5\text{V}$	工作温度	$-40 \sim 85^\circ\text{C}$
V_{SS} 至 GND	$+0.3 \sim 6.5\text{V}$	存储温度	$-65 \sim 150^\circ\text{C}$
模拟输入 ($(V_{SS} - 0.3\text{V}) \sim (V_{DD} + 0.3\text{V})$)		结温	150°C
数字输入 $-0.3\text{V} \sim (V_{DD} + 0.3\text{V})$		μ SOIC 封装:	
峰值电流, S 或 D	100mA	热阻 θ_{JA}	$206^\circ\text{C}/\text{W}$

热阻 θ_{JC}

44°C/W

红外回流峰值温度

220°C

引线焊接温度 (10s)

300°C

注意：S 是源端，可以是输入或输出；D 是漏端，可以是输入或输出； V_{DD} 是最大正电源电势； V_{SS} 是对双电源最大负电源，在单电源应连至器件地。

测试电路参见 ADG636 SPDT 测试电路。

[生产厂家] ANALOG DEVICES

1.3 DG 型 4 单刀单掷开关电路

DG201A / DG211, 4 个 SPST, CMOS 模拟开关

[用途]

温切斯特硬盘驱动

引导装置和控制系统

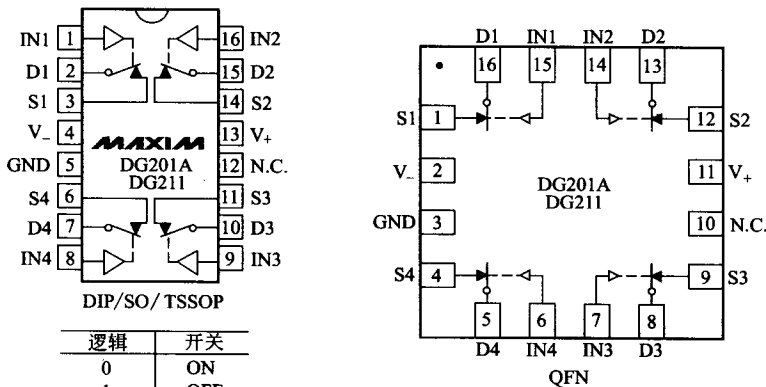
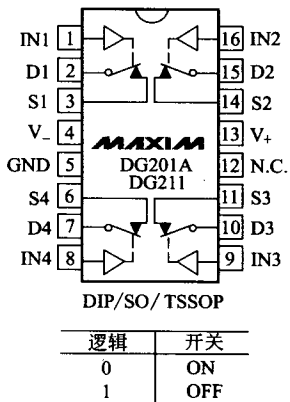
测试设备

平视显示器

通信系统

军用无线电

PBX, PABX



(a)

(b)

图 1-8 管脚图 (顶视)

[特点]

保证 $\pm(4.5 \sim 18)V$ 工作

CMOS 和 TTL 逻辑兼容

无 V_L 电源要求

单片，低功耗 CMOS 设计

有电源关断无锁住和输入信号仍存在

DG201A 和 DG211 是常闭，4 个单刀单掷 (SPST) 模拟开关。开关连续工作用电源 $\pm(4.5 \sim 18)V$ ，保证这些开关不锁存，如电源断开时输入信号仍连接。器件保证先开后合。DG201A 和 DG211 开关速度不同。DG201A 最大关断时间为 450ns，最大接通时间为 600ns；DG211 最大关断时间为 500ns，最大接通时间为 1000ns。DG201A 和 DG211 的特别低功耗，使器件适用于便携设备。由于不要求 V_L 使用，所以可用于 DG211。

[管脚说明]

脚号		脚名	说 明
DIP/SO/TSSOP	QFN		
1,16,9,8	15,14,7,6	IN1~IN4	输入
2,15,10,7	16,13,8,5	D1~D4	模拟开关漏端
3,14,11,6	1,12,9,4	S1~S4	模拟开关源端
4	2	V ₋	负电源电压输入
5	3	GND	地
12	10	N.C.	不连
13	11	V ₊	正电源电压输入(连至基片)

[最大绝对额定值] (DG211)

V ₊ 至 V ₋	44V
V _{IN} 至 地	V ₋ , V ₊
V _L 至 地	-0.3V, 25V
V _S 或 V _D 至 V ₊	0, -40V
V _S 或 V _D 至 V ₋	0, -40V
V ₊ 至 地	25V
V ₋ 至 地	-25V
除 S 或 D 外, 任一脚电流	30mA
连续电流, S 或 D	20mA
峰值电流, S 或 D (脉宽 1ms, 10% 占空比)	70mA
存储温度	-65~125°C
工作温度:	
DG211C	0~70°C
DG211D/E	-40~85°C
功耗 (T _A = 70°C):	
16 脚塑 DIP (70°C 以上衰减 10.5mW/°C)	842mW
16 脚窄 SO (70°C 以上衰减 8.3mW/°C)	696mW
16 脚 TSSOP (70°C 以上衰减 9.4mW/°C)	755mW
16 脚 QFN (70°C 以上衰减 19.2mW/°C)	1538mW

[最大绝对额定值] (DG201A)

(电压相对 V₋)

V ₊	44V
GND	25V
数字输入 V _S , V _D	-2V~(V ₊ + 2V)
除 S 或 D 外任一端电流	30mA
峰值电流 S 或 D (脉宽 1ms, 10% 占空比)	70mA
连续电流, S 或 D	20mA
工作温度:	
DG201AA	-55~125°C
DG201AD/E	-40~85°C
DG201AC	0~70°C
存储温度	-65~150°C
功耗	
16 脚塑 DIP (70°C 以上衰减 10.5mW/°C)	842mW
16 脚 SO (70°C 以上衰减 8.7mW/°C)	696mW